

**KESAN PENSTABILAN KAPUR TERHIDRAT KE
ATAS KEKUATAN TANAH BERLEMPUNG DARI
FORMASI TRUSMADI DI KAWASAN
KUNDASANG-RANAU, SABAH**



UMS
UNIVERSITI MALAYSIA SABAH

**PROGRAM GEOLOGI
SEKOLAH SAINS DAN TEKNOLOGI
UNIVERSITI MALAYSIA SABAH
2013**

**KESAN PENSTABILAN KAPUR TERHIDRAT KE
ATAS KEKUATAN TANAH BERLEMPUNG DARI
FORMASI TRUSMADI DI KAWASAN
KUNDASANG-RANAU, SABAH**



**TESIS DIKEMUKAKAN UNTUK
MEMENUHI SYARAT MEMPEROLEHI
IJAZAH SARJANA SAINS**

**SEKOLAH SAINS DAN TEKNOLOGI
UNIVERSITI MALAYSIA SABAH
2013**

UNIVERSITI MALAYSIA SABAH

BORANG PENGESAHAN TESIS

JUDUL : _____

_____IJAZAH : _____

_____SAYA : _____ SESI PENGAJIAN : _____
(HURUF BESAR)

Mengaku membenarkan tesis *(LPSM/Sarjana/Doktor Falsafah) ini disimpan di Perpustakaan Universiti Malaysia Sabah dengan syarat-syarat kegunaan seperti berikut:-

1. Tesis adalah hak milik Universiti Malaysia Sabah.
2. Perpustakaan Universiti Malaysia Sabah dibenarkan membuat salinan untuk tujuan pengajian sahaja.
3. Perpustakaan dibenarkan membuat salinan tesis ini sebagai bahan pertukaran antara institusi pengajian tinggi.
4. Sila tandakan (/)

SULIT

(Mengandungi maklumat yang berdarjah keselamatan atau kepentingan Malaysia seperti yang termaktub di AKTA RAHSIA RASMI 1972)

TERHAD

(Mengandungi maklumat TERHAD yang telah ditentukan oleh organisasi/badan di mana penyelidikan dijalankan)

TIDAK TERHAD

Disahkan oleh:

(TANDATANGAN PENULIS)

Alamat Tetap: _____

(TANDATANGAN PUSTAKAWAN)

TARIKH: _____

(NAMA PENYELIA)

TARIKH: _____

Catatan:

*Potong yang tidak berkenaan.

*Jika tesis ini SULIT dan TERHAD, sila lampirkan surat daripada pihak berkuasa/organisasi berkenaan dengan menyatakan sekali sebab dan tempoh tesis ini perlu dikelaskan sebagai SULIT dan TERHAD.

*Tesis dimaksudkan sebagai tesis bagi Ijazah Doktor Falsafah dan Sarjana Secara Penyelidikan atau disertai bagi pengajian secara kerja kursus dan Laporan Projek Sarjana Muda (LPSM).

PENGAKUAN

Karya ini adalah hasil kerja saya sendiri kecuali nukilan, ringkasan dan rujukan yang tiap – tiap satunya telah saya jelaskan sumbernya.

1 September 2013

Nur Fatinidiana Ramlee
PS2009-8115



UMS
UNIVERSITI MALAYSIA SABAH

CERTIFICATION

NAMA : **NUR FATINIDIANA RAMLEE**

MO. MATRIK. : **PS2009-8115**

TITLE : **KAJIAN KESAN KEKUATAN PENSTABILAN KAPUR TERHIDRAT TERHADAP TANAH BERLEMPUNG DARI FORMASI TRUSMADI DI KAWASAN KUNDASANG – RANAU, SABAH.**

IJAZAH : **SARJANA SAINS (GEOLOGI)**

TARIKH VIVA : **5 FEBRUARI**



Prof. Madya Dr. Baba Musta

DISAHKAN OLEH
UMS
UNIVERSITI MALAYSIA SABAH

Tandatangan

PENGHARGAAN

Syukur Alhamdulillah, dengan limpah rahmat dan kurniaan dari-NYA dapat juga saya menyempurnakan penulisan ilmiah ini. Pertama sekali, jutaan terima kasih yang tidak terhingga saya ucapkan kepada penyelia saya merangkap Dekan Sekolah Sains dan Teknologi iaitu Prof. Madya Dr. Baba Musta kerana sudi menerima saya sebagai anak didiknya pada tahun 2009 sehingga sekarang. Beliau juga sanggup meluangkan masa dan bersabar serta tekun dalam mencerahkan ilmu kepada saya sepanjang pengajian saya di sini. Segala jasa baik Dr. Baba sekeluarga kepada saya hanya Tuhan yang dapat membalaunya. InsyaAllah.

Buat bonda dan ayahanda yang tercinta, Pn. Noraini Mokhtar dan En. Ramlee Aman, terima kasih emak dan abah sebab mendoakan, membimbing dan sanggup berkorban masa dan harta dalam menolong saya mencapai cita – cita saya. Semoga emak dan abah dimurahkan rezeki, dipanjangkan umur dan ditingkatkan keimanan dan ketaqwaan kepada Illahi. Buat adik – adik, Helmy Qaiyuum dan Nur Alyadiana, kalian adalah semangat kepada saya untuk terus memberi contoh yang terbaik kepada kalian. Buat insan teristimewa Hafiz Fuad, terima kasih kerana atas doa dan dorongan yang diberikan dalam mencapai impian ini dikala berjauhan. Semoga jodoh kita diberkati oleh-NYA. InsyaAllah.

Tidak lupa juga buat pensyarah – pensyarah Geologi UMS : Prof. Dr. Sanudin Hj. Tahir, Prof. Dr. Felix Tongkul, Prof. Dr. Shariff ak Omang, En. Rodeano Roslee, Dr Ismail, Puan Hennie Fitria, Puan Hazerina dan En. Adong Laming untuk dorongan dan kerjasama yang telah diberikan kepada saya. Saya juga ingin mengucapkan jutaan terima kasih kepada pembantu – pembantu makmal iaitu En. Jalaludian Manjalip, En. Razali, En Sanin Awang, En. Rahim, En. Asrizal, En. Farhan dan Azli kerana sudi menolong saya sepanjang saya menjalankan analisis di makmal kalian.

Kepada rakan – rakan seperjuangan di Bilik Pelajar pascasiswa 3 iaitu Mohamed Ali Yusof bin Mohd Husin, Fauziah Hanis Hood (rakan sekampung),

Dayang Nur Asylla, Junaidi Asis Mohamad Abdullah, Annie Johanna, Rezal Rahmat, Asman Alias, Aida Wahab, Kumang Astana, Casidy Aloh, Joyce, Shareen Meliko, Hazlinda Ibno, Wong Fui Peng dan Ismail; terima kasih yang tidak terhingga kepada kalian kerana sudi menolong dalam pelbagai segi sama ada dari segi fizikal dan mental. Terima kasih kerana sentiasa memberi kata – kata semangat dan menemaninya diri ini dalam keadaan susah dan senang. Mudahan hidup kalian sentiasa dilimpahi rahmat hendak-NYA.

Nur Fatinidiana Ramlee



UMS
UNIVERSITI MALAYSIA SABAH

ABSTRAK

KESAN PENSTABILAN KAPUR TERHIDRAT KE ATAS KEKUATAN TANAH BERLEMPUNG DARI FORMASI TRUSMADI DI KAWASAN KUNDASANG – RANAU, SABAH

Kawasan kajian terletak di sekitar Kundasang dan Ranau, Sabah. Kawasan kajian terdiri daripada Formasi Trusmadi (Paleosen hingga Eosen Tengah) yang dicirikan oleh selang lapis batu pasir dengan syal kelabu. Terdapat enam sampel tanah diambil untuk mengkaji kesan kapur terhadap sifat-sifat fiziko kimia tanah dan sifat kejuruteraan tanah. Berdasarkan kepada analisis saiz butiran, sampel dikelaskan sebagai lodak berlempung dan berpasir, pasir berlempung serta pasir sedikit berlempung. Keenam-enam sampel mempunyai 15.02% hingga 27.49% kelembapan tanah, dan 3.24% hingga 5.29% kandungan bahan organik. Manakala, nilai pH tertinggi pada sampel tanah S1 iaitu 8.72 dan nilai pH terendah pada sampel tanah S2 iaitu 3.92. Analisis Indeks Keplastikan tanah menunjukkan sampel tanah di kawasan kajian ialah berkeplastikan rendah hingga serderhana iaitu 6.49% hingga 13.47%. Analisis pemandatan Proctor menunjukkan, ketumpatan kering optimum, ρ_d antara 1.55 hingga 1.94 Mg/m^3 dengan kandungan kelembapan optimum, ω_o berjulat 9.97 hingga 20.00%. Nilai kebolehtelapan tanah adalah berjulat 6.05×10^{-9} hingga $9.76 \times 10^{-3} cms^{-1}$. Analisis kekuatan mampatan tak terkurung pula menunjukkan julat kekuatan antara 78 hingga 198 kPa. Sampel S1 dan S3 dicampurkan dengan kapur terhidrat dengan 2%, 4%, 6% dan 8% dan diawet selama 4 jam, 7, 14, 21 dan 28 hari untuk analisis penstabilan tanah. Terdapat peningkatan nilai pH bagi setiap penambahan peratusan kapur terhidrat dalam tanah bagi sampel S1 (berpasir) iaitu 8.47 hingga 12.29 dan sampel tanah S3 (bersyal) iaitu 8.04 hingga 8.91. Daripada analisis pembelauan sinar-X (XRD) dan mikroskop pengimbas elektron (SEM) didapati tanah Formasi Trusmadi mengandungi kuarza, montmorilonit, ilit hingga montmorilonit, ilit dan haloisit. Analisis pendaflour sinar-X (XRF) menunjukkan peningkatan kandungan kalsium oksida (CaO) dalam sampel berpasir iaitu 0.37% hingga 6.09% dan sampel bersyal iaitu 0.26% hingga 5.79%. Analisis XRD menunjukkan kehadiran mineral bersimen iaitu kalsium silikat hidrat (CSH) dan kalsium aluminat silikat (CAS) dalam analisis penstabilan. Manakala, perubahan sifat morfologi mikrostruktur penstabilan tanah daripada analisis SEM jelas menunjukkan kehadiran gumpalan mineral simen dan struktur kepingan simen antara butiran tanah yang terbentuk pada 8% penstabilan kapur. Sampel berpasir mempunyai kekuatan mampatan paksi optima dengan 6% penambahan kapur terhidrat iaitu 1350 kPa dan maksima dengan 8% penstabilan iaitu 1383 kPa pada 28 hari pengawetan. Manakala, kekuatan mampatan paksi maksima bagi sampel bersyal iaitu 858 kPa dengan 8% penambahan kapur terhidrat dan 28 hari pengawetan.

ABSTRACT

The study area is located along in Kundasang – Ranau, Sabah. The study area consists of Trusmadi Formation (Paleocene to Middle Eocene) consists of interbedded sandstone and gray shale. There are 6 soil samples from the Trusmadi Formation have been taken to study the effect of hydrated lime on physic chemical properties and engineering properties of soil. The particle size distribution shows that the grain size is sandy and clayey silt, clayey sand, and slightly clayey sand. Analysis of soil moisture shows the 6 samples ranges from 15.02% to 27.49% and soil organic matter content from 3.24% to 5.29%. Meanwhile, the highest value pH is 8.72 and the lowest pH is 3.92 was obtained. The plasticity index of soil analysis show the soil sample in the study area is low to intermediate and the value is 6.49 to 13.47. The Proctor compaction analysis shows that the optimum dry density ranges from 1.55 to 1.94 Mg/m³ with optimum moisture content, ω_o ranges from 9.97% to 20%. Meanwhile, the soil permeability soil ranges from 6.05×10^9 to 9.76×10^3 cms⁻¹. The unconfined compressive strength analysis shows the strength of the samples is range of 78 to 198 kPa. The S1 and S3 soil samples were mixed with hydrated lime at 0%, 2%, 4%, 6%, 8% and preserved for 0, 7, 14, 21, 28 days for soil stabilization analysis. There was a higher pH value for each additional 0% to 8% of hydrated lime in the soil for the sample S1 from 8.47 to 12.29 and S3 from 8.04 to 8.91. From the analysis of X-ray diffraction (XRD) and scanning electron microscope (SEM) indicated that the Trusmadi soil consists of quartz, montmorillonite, illite-montmorillonite, illite and halloysite. X-ray pendaflour analysis showed an increase of calcium oxide (CaO) in the S1 sample 0.37% to 6.09% and the sample S3 from 0.26% to 5.79%. The percentage of Al₂O₃ content began to decrease in each addition of lime in the soil sample S1 from 19.16% to 16.29% and soil sample S3 from 19.44% to 17.44%. Meanwhile, the percentage of SiO₂ also declined for every addition of lime in the sample S1 from 62.24% to 56.92% and S3 from 58.62% to 52.30%. The XRD diagram shows the presence of cementations minerals are calcium silicate hydrate (CSH) and calcium aluminates silicate (CAS) for treated soils. Meanwhile, the SEM image shows the agglomeration structure of cementations minerals and flaky structure which bind in between of clay minerals with 8% of hydrated lime. In the other hand, the behaviour of soil will changed from ductile to a brittle structure due to the increasing of soils strength. Sample S1 has an optimum axial compressive strength with 6% addition of hydrated lime at 28 days curing is 1383 kPa. Meanwhile, the optimum axial compressive strength for the sample S3 is 858 kPa with 8% addition of hydrated lime and 28 days curing.

SENARAI KANDUNGAN

	Halaman
PENGAKUAN	ii
PENGESAHAN	iii
PENGHARGAAN	iv
ABSTRAK	vi
ABSTRACT	vii
SENARAI KANDUNGAN	viii
SENARAI RAJAH	xii
SENARAI JADUAL	xvi
SENARAI FOTO	xviii
SENARAI FOTOMIKROGRAF	xix
SENARAI LAMPIRAN	xxi

BAB 1: PENGENALAN

1.1	Pendahuluan	1
1.2	Pernyataan Masalah	2
1.3	Latar Belakang Kawasan Kajian	3
1.3.1	Faktor Geologi	7
1.3.2	Taburan Hujan	9
1.3.3	Sistem Saliran	10
1.3.4	Topografi	14
1.4	Skop Kajian	17
1.5	Objektif Kajian	17
1.6	Kepentingan Kajian	18

BAB 2: ULASAN LITERATUR

2.1	Pendahuluan	19
2.2	Geologi Kawasan Kajian	19
2.3	Luluhawa	25
2.4	Pengaruh Kehadiran Lempung	25
2.5	Kaedah Penstabilan Tanah dengan Kapur Terhidrat	26
2.6	Kajian Penstabilan di Malaysia	30
2.7	Mekanisma Tindak Balas Tanah dengan Kapur Terhidrat	30
2.7.1	Tindakbalas Pertukaran Kation	30
2.7.2	Mekanisma Pozzolanik	31
2.7.3	Mekanisma Pengkarbonatan	32
2.8	Faktor –faktor yang Mempengaruhi Penstabilan	32
2.8.1	Kandungan Kelembapan dan Sifat Minerologi Tanah	33
2.8.2	Jenis Tanah dan Kehadiran BOT	34
2.8.3	Mineral Sulfida dalam Tanah	35
2.8.4	Diatom dalam Tanah	35
2.8.5	Masa Pengawetan	36

2.8.6	Suhu Pengawetan	38
2.8.7	Jenis dan Kandungan Kapur	38
2.8.7	pH Tanah	39
BAB 3: KAEADAH KAJIAN		
3.1	Pendahuluan	40
3.2	Kajian Makmal	41
3.2.1	Analisis Sampel Tanah	41
a.	Ujian Kandungan Kelembapan	41
b.	Ujian Kandungan Bahan Organik	41
c.	Analisis Saiz Butiran	42
d.	Had-had Atterberg	43
i.	Had Cecair	43
ii.	Had Plastik	44
iii.	Indeks Keplastikan	44
iv.	Had Pengecutan Linear	45
e.	Graviti Tentu Tanah	45
f.	Pemadatan Proctor	45
g.	Kebolehtelapan Tanah	47
h.	Ujian Mampatan Tak Terkurung	48
3.2.2	Analisis Sampel Batuan	49
3.2.3	Analisis Penstabilan	49
a.	Analisis Kekuatan Tanah Berlempung	49
b.	Analisis Sifat Mikrostruktur Tanah Berlempung	51
i.	Mikroskop Pengimbas Elektron (SEM)	51
ii.	Analisis Pembelaun Sinar-X (XRD)	52
iii.	Analisis Pendaflour Sinar-X (XRF)	53
3.3	Persampelan Tanah dan Batuan	53
3.3.1	Pemilihan Sampel	53
3.3.2	Kaedah Persampelan	54
3.3.3	Lokasi Persampelan	54
3.4	Kerangka Kajian	57
BAB 4: SIFAT FIZIKO KIMIA, SIFAT KEJURUTERAAN DAN KOMPOSISI MINERALOGI TANAH BERLEMPUNG FORMASI TRUSMADI		
4.1	Pendahuluan	59
4.2	Hasil Analisis Sifat Fiziko Kimia Tanah	59
4.2.1	Analisis Ujian Kimia Tanah	59
4.2.2	Analisis Saiz Butiran Tanah	60
4.2.3	Had-had Atterberg	67
4.3	Hasil Analisis Sifat Kejuruteraan Tanah	70

4.3.1	Graviti Tentu Tanah	70
4.3.2	Pemadatan Proctor Tanah	71
4.3.3	Kebolehtelapan Tanah	74
4.3.4	Ujian Mampatan Kekuatan Tak Terkurung	75
4.4	Hasil Analisis Komposisi Mineral dalam Tanah	78

**BAB 5: KESAN KAPUR TERHIDRAT TERHADAP MINEROLOGI
DAN MIKROSTRUKTUR TANAH BERLEMPUNG
FORMASI TRUSMADI**

5.1	Pendahuluan	89
5.2	Analisis Kimia bagi Penstabilan Tanah	89
5.3	Analisis Mineralogi dan Mikrostruktur bagi Penstabilan Tanah	97
	5.3.1 Perubahan Mineralogi Tanah dengan XRD	97
	5.3.2 Morfologi Mikrostruktur Tanah dengan SEM	101
5.4	Hubungan Mineralogi dengan Sifat Kekuatan Penstabilan	105

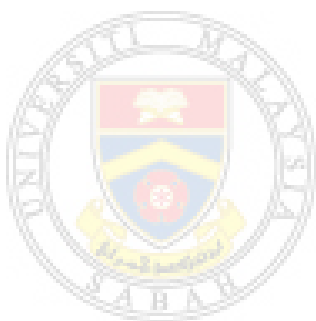
**BAB 6: KESAN PENSTABILAN KAPUR TERHIDRAT TERHIDRAT
TERHADAP SIFAT KEKUATAN TANAH BERLEMPUNG
FORMASI TRUSMADI**

6.1	Pendahuluan	108
6.2	Kekuatan Kompresif Tanah Berlempung	108
	6.2.1 Kekuatan Lodak Berlempung dan Bepasir	108
	6.2.2 Kekuatan Pasir Berlempung	110
6.3	Sifat Pengelasan Kekuatan Mampatan Tak Terkurung	111
	6.3.1 Lodak Berlempung dan Berpasir	111
	6.3.2 Pasir Berlempung	113
6.4	Jenis Corak Kegagalan	115
6.5	Perbandingan Sifat Kekuatan Penstabilan	120
	6.5.1 Perbandingan Kadar Kekuatan Penstabilan Tanah	120
	6.5.2 Kesan Unit Litologi Terhadap Penstabilan	121
	6.5.3 Kesan Tempoh Pengawetan Terhadap Penstabilan	123

BAB 7: KESIMPULAN DAN CADANGAN

7.1	Pendahuluan	126
7.2	Geologi Am dan Taburan Batuan	126
7.3	Sifat Fiziko Kimia, Sifat Kejueruteraan dan Komposisi Mineralogi Tanah Berlempung Formasi Trusmadi	126
7.4	Kesan Penstabilan Terhadap Mineralogi dan Mikrostruktur Tanah Berlempung Formasi Trusmadi	127
7.5	Kesan Penstabilan Kapur Terhidrat Terhadap Kekuatan Tanah Berlempung Formasi Trusmadi	128
7.6	Cadangan	129

RUJUKAN	130
LAMPIRAN A	138
LAMPIRAN B	140
LAMPIRAN C	142
LAMPIRAN D	143
LAMPIRAN E	148
LAMPIRAN F	166
LAMPIRAN G	184



UMS
UNIVERSITI MALAYSIA SABAH

SENARAI RAJAH

Rajah 1.1:	Lokasi kawasan kajian di Sabah.	4
Rajah 1.2:	Peta dasar kawasan kajian di Pekan Kundasang.	5
Rajah 1.3:	Peta dasar kawasan kajian di sepanjang Jalan Lebuhraya Ranau-Tambunan.	6
Rajah 1.4:	Kekerapan taburan hujan sepanjang tahun 2011	9
Rajah 1.5:	Pola saliran di sekitar kawasan Pekan Kundasang.	12
Rajah 1.6:	Pola saliran di sekitar kawasan Lebuhraya Ranau-Tambunan.	13
Rajah 1.7:	Topografi di kawasan sekitar Pekan Kundasang, Ranau.	15
Rajah 1.8:	Topografi di kawasan sekitar Lebuhraya Ranau-Tambunan.	16
Rajah 2.1:	Rumusan Stratigrafi kawasan kajian.	20
Rajah 2.2:	Peta Geologi di kawasan Kundasang.	22
Rajah 2.3:	Peta Geologi di sepanjang kawasan Lebuhraya Ranau Tambunan.	23
Rajah 2.4:	Pembinaan tiang kapur (Broms dan Boman dalam Rogers dan Glendinning, 1997).	27
Rajah 2.5:	Kaedah semburan simen/kapur ke dalam muka cerun (Blacklock dan Wright, 1986 dalam Rogers dan Glendinning, 1997).	28
Rajah 2.6:	Pembinaan cerucuk kapur (Ingles dan Metcalf, 1972 dalam Rogers dan Glendinning, 1997).	29
Rajah 2.7:	Analisis kekuatan kejelkitan tanah melawan bilangan hari pengawetan (Bergado et.al, 1996).	36
Rajah 2.8:	Analisis kekuatan ricih melawan masa pengawetan (Locat, et.al, 1990; Bergado et.al, 1996).	37
Rajah 3.1:	Carta aliran kajian makmal.	40
Rajah 3.2:	Lokasi kawasan persampelan bagi lokaliti S1.	55
Rajah 3.3:	Lokasi kawasan persampelan bagi lokaliti S2,S3,S4,S5 dan S6.	56
Rajah 4.1:	Lengkung taburan saiz butiran tanah yang menunjukkan sifat penggredan susunan saiz butiran tanah.	61
Rajah 4.2:	Graf analisis Had Cecair	68
Rajah 4.7:	Pemperolehan hasil analisis keplastikan berdasarkan kepada	69

	Indeks Carta Keplastikan (Casagrande, 1948).	
Rajah 4.8:	Graf menunjukkan nilai optimum ketumpatan kering dan kandungan kelembapan yang berbeza bagi setiap sampel tanah.	72
Rajah 4.9:	Hasil pemperolehan analisis pemedatan menunjukkan jenis lengkung pemedatan bagi 4 jenis tanah yang berbeza (Braja, 2010: 119).	73
Rajah 4.10:	Analisis kekuatan mampatan melawan paksi regangan.	76
Rajah 4.11:	Analisis mineralogi bagi sampel S1 yang menunjukkan kehadiran mineral kuarza (Q), kaolinit (K) dan ilit-montmorilonit (I-M).	79
Rajah 4.12:	Analisis mineralogi bagi sampel S2 yang menunjukkan kehadiran mineral kuarza (Q), ilit-montmorilonit (I-M) dan montmorilonot (M).	80
Rajah 4.13:	Analisis mineralogi bagi sampel S3 menunjukkan kehadiran mineral kuarza (Q), kaolinit (K), ilit (I), montmorilonit (M) dan ilit-montmorilonit. Daripada fotomikograf SEM menunjukkan, sampel S3 mengandungi mineral montmorilonit yang tinggi.	81
Rajah 4.14:	Analisis mineralogi bagi sampel S4 menunjukkan sampel terdiri daripada mineral kuarza (Q), ilit-montmorilonit (I-M), haloosit (H) dan ilit (I).	82
Rajah 4.15:	Analisis mineralogi bagi sampel S5 menunjukkan kehadiran mineral montmorilonit (M), kuarza (Q) dan ilit (I).	83
Rajah 4.16:	Analisis mineralogi bagi sampel S6 menunjukkan kehadiran mineral kuarza (Q), ilit-montmorilonit (I-M), montmorilonit (M) dan haloosit (H). Namun begitu, graf XRD menunjukkan sampel S6 terdiri daripada mineral vermiculit (V).	84
Rajah 4.17:	Struktur mineral lempung kaolinit, ilit dan montmorilonit. Rajah menunjukkan, terdapat kation K^+ yang mengisi antara perlapisan dalam ilit dan H_2O dalam perlapisan montmorilonit (Coduto, et.al, 2011).	85
Rajah 4.18:	Kedudukan mineral lempung yang umum atas carta keplastikan Casagrande (Casagrande, 1948 dalam Robert & William, 1981).	87

Rajah 5.1:	Keadaan pH sampel S1 selepas penstabilan dijalankan pada 28 hari pengawetan.	94
Rajah 5.2:	Keadaan pH sampel S3 selepas penstabilan dijalankan pada 28 hari pengawetan.	94
Rajah 5.3:	Graf analisis kepekatan unsur SiO_2 , Al_2O_3 dan CaO dalam sampel tanah S1.	96
Rajah 5.4:	Graf analisis kepekatan unsur SiO_2 , Al_2O_3 dan CaO dalam sampel tanah S3.	96
Rajah 5.5:	Difaktogram menunjukkan jenis mineral simen pada sampel S1.	99
Rajah 5.6:	Difaktogram menunjukkan jenis mineral simen pada sampel S3.	99
Rajah 6.1:	Graf analisis kekuatan mampatan paksi bagi tanah lodak berlempung dan berpasir.	109
Rajah 6.2:	Graf analisis kekuatan mampatan paksi bagi pasir berlempung.	111
Rajah 6.3:	Graf analisis paksi tegasan melawan paksi keterikan bagi sampel tanah lodak berlempung dan berpasir.	116
Rajah 6.4:	Sifat keterikan berkadar songsang dengan pertambahan kapur terhidrat bagi sampel S1.	116
Rajah 6.5:	Graf analisis paksi tegasan melawan paksi keterikan bagi sampel tanah pasir berlempung	117
Rajah 6.6:	Sifat keterikan berkadar songsang dengan pertambahan kapur terhidrat bagi sampel S3.	117
Rajah 6.7:	Corak kegagalan pada sampel tanah lodak berlempung dan berpasir (S1).	119
Rajah 6.8:	Corak kegagalan pada sampel tanah pasir berlempung (S3).	120
Rajah 6.9:	Perubahan kadar peratusan kekuatan penstabilan bagi sampel S1.	121
Rajah 6.10:	Perubahan kadar peratusan kekuatan penstabilan bagi sampel S3.	122

- Rajah 6.11: Kadar tempoh pengawetan adalah berkadar terus dengan kesan kekuatan penstabilan bagi sampel S1. 125
- Rajah 6.12: Kadar tempoh pengawetan adalah berkadar terus dengan kesan kekuatan penstabilan bagi sampel S3. 125



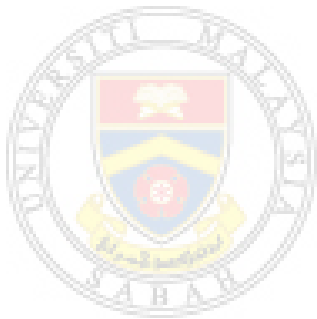
SENARAI JADUAL

Jadual 2.1:	Jadual menunjukkan anggaran nilai kekuatan tanah berlempung yang distabilkan dengan kapur mengikut jenis kapur (Thompson, 1966).	34
Jadual 3.1:	Rumusan Unit Litologi Lokasi Kawasan Kajian.	54
Jadual 4.1:	Hasil analisis ujian indeks.	59
Jadual 4.2:	Purata analisis taburan saiz butiran.	60
Jadual 4.3:	Pengelasan saiz butiran (mm) berdasarkan kepada <i>British Standard 1377:Part 2:1990</i>	61
Jadual 4.4:	Kesimpulan analisis taburan saiz butiran berdasarkan kepada USCS.	62
Jadual 4.5:	Rumusan unit litologi kawasan kajian yang mempengaruhi pengelasan saiz butiran tanah (USCS) dan penggredan susunan butiran.	62
Jadual 4.6:	Hasil analisis Had-had Atterberg bagi 6 sampel tanah.	67
Jadual 4.7:	Hasil analisis pengecutan linear.	67
Jadual 4.8:	Purata analisis graviti tentu tanah.	70
Jadual 4.9:	Pengelasan Graviti Tentu Tanah (Braja, 2010).	70
Jadual 4.10:	Keputusan data analisis pemandatan proctor.	71
Jadual 4.11:	Data ujian kebolehtelapan tanah.	75
Jadual 4.12	Pengekelasan Kebolehtelapan tanah (Terzaghi, 1996).	75
Jadual 4.13:	Hasil analisis Kekuatan Mampatan Tak Terkurung (kPa) bagi sampel tanah berjeleket dari Formasi Trusmadi.	76
Jadual 4.14:	Pengelasan Konsistensi bagi Kekuatan Mampatan Tak Terkurung (kPa).	76
Jadual 4.15:	Rumusan kandungan mineralogi dalam tanah dari Formasi Trusmadi.	78
Jadual 4.16:	Nilai puncak mineral lempung dalam XRD.	78
Jadual 4.17:	Rumusan sifat fiziko-kimia mineral lempung bagi kaolinit, ilit dan montmorillonit (Diubahsuai daripada Beroya et al., 2009; Grim, 1968).	86
Jadual 4.18:	Nilai had cecair, had keplastikan dan aktiviti lempung mengikut jenis lempung dalam tanah (Braja, 2010).	87
Jadual 5.1:	Kepekatan unsur oksida terhadap penstabilan tanah.	97

Jadual 6.1:	Kekuatan Mampatan Tak terkurung (kPa) bagi Lodak Berlempung dan Berpasir yang distabilkan dengan kapur terhidrat.	109
Jadual 6.2:	Kekuatan Mampatan Tak Terkurung (kPa) bagi Pasir Berlempung yang Distabilkan dengan Kapur Terhidrat.	110
Jadual 6.3:	Nilai kekuatan paksi mampatan pada 0 hari pengawetan.	112
Jadual 6.4:	Nilai kekuatan paksi mampatan pada 7 hari pengawetan.	112
Jadual 6.5:	Nilai kekuatan paksi mampatan pada 14 hari pengawetan.	112
Jadual 6.6:	Nilai kekuatan paksi mampatan pada 21 hari pengawetan.	113
Jadual 6.7:	Nilai kekuatan paksi mampatan pada 28 hari pengawetan.	113
Jadual 6.8:	Nilai kekuatan paksi mampatan pada 0 hari pengawetan.	113
Jadual 6.9:	Nilai kekuatan paksi mampatan pada 7 hari pengawetan.	114
Jadual 6.10:	Nilai kekuatan paksi mampatan pada 14 hari pengawetan.	114
Jadual 6.11:	Nilai kekuatan paksi mampatan pada 21 hari pengawetan.	114
Jadual 6.12:	Nilai kekuatan paksi mampatan pada 28 hari pengawetan.	115
Jadual 6.13:	Menunjukkan perbezaan kekuatan penstabilan bagi dua sampel tanah yang berbeza unit litologinya.	123

SENARAI FOTO

Foto 1.1:	Batu metamorfik jenis sabak hingga filit pada perlapisan Formasi Trusmadi.	7
Foto 1.2:	Singakpan Kelilir Pinousuk yang terdiri daripada campuran bahan peroi yang terdiri daripada batu pasir daripada Formasi Trusmadi di sekitar Zen Garden.	8
Foto 1.3:	Kewujudan resapan air pada permukaan cerun Formasi Trusmadi di lokaliti S2.	10
Foto 2.1:	Antara singkapan Formasi Trusmadi di kawasan Sg. Kenipir.	21



SENARAI FOTOMIKROGRAF

Fotomikrograf 4.1:	Menunjukkan sampel batu pasir mengandungi taburan mineral kuarza (Q) dan plagioklas(P). Terdapat juga kehadiran mineral mika seperti muskovit (M). Imej menunjukkan, sampel S1 mempunyai saiz butiran besar dan kasar.	64
Fotomikrograf 4.2:	Menunjukkan taburan mineral mineral kuarza (Q), taburan mineral mika seperti muskovit (M) dan Biotit (B) dalam sampel batu pasir dari S2. Imej menunjukkan sazi butiran adalah sederhana kasar.	64
Fotomikrograf 4.3:	Menunjukkan sampel batu pasir dari lokaliti S3. Sampel terdiri daripada taburan kuarza (Q), dan taburan mineral mika seperti biotit (B) dan muskovit (M) yang berkeping-keping. Saiz butiran mineral adalah bersaiz halus.	65
Fotomikrograf 4.4:	Menunjukkan keratan nipis batu pasir dari lokaliti S4. Sampel terdiri daripada mineral kuarza (Q) dan mineral mika seperti muskovit (M) dan biotit (B). Sampel terdiri daripada mineral bersaiz besar.	65
Fotomikrograf 4.5:	Menunjukkan keratan nipis batu pasir dari lokaliti S5. Imej menunjukkan taburan butiran kuarza (Q) lebih banyak berbanding mineral mika seperti muskovit (M). Butiran mineral dalam batu pasir S5 adalah bersaiz besar.	66
Fotomikrograf 4.6:	Menunjukkan taburan mineral kuarza (Q) dan sedikit kehadiran mineral mika seperti muskovit (M). Keratan nipis menunjukkan sampel batu pasir dari lokaliti S6 mempunyai saiz butiran sederhana besar.	66
Fotomikrograf 5.1:	Imej mikrograf SEM analisis penstabilan bagi sampel tanah S1. Imej (a) menujukkan struktur rongga udara dalam tanah tanpa penstabilan. Imej (b) merupakan tanah yang distabilkan dengan 2% kapur terhidrat. Terdapat struktur gumpalan dengan 4% kapur terhidrat pada Imej (c). Struktur penghabluran	103

simen dengan 6% kapur terhidrat pada Imej (d).
Imej (e dan f) menunjukkan kepingan simen
dan tanah semakin padat apabila distabilkan dengan
8% kapur terhidrat.

- Fotomikrograf 5.2: Imej mikrograf SEM analisis penstabilan bagi sampel tanah S3. Imej (a) menunjukkan kehadiran mineral ilit-montmorillonit bagi sampel tanpa penstabilan. Imej (b) dan (c) merupakan sampel tanah dengan 2% dan 4% penstabilan. Imej (d) menunjukkan flokulasi mineral simen dengan kehadiran jambatan pengikat (simen) antara mineral lempung. Imej (e) menunjukkan hablur simen hasil tindak balas pengkarbonatan. Imej 6.2 (f) menunjukkan struktur tanah lebih padat dengan kehadiran kepingan mineral simen yang memenuhi ruang rongga tanah. 104



SENARAI LAMPIRAN

Lampiran A	Keputusan kandungan kelembapan tanah	138
Lampiran B	Keputusan pH tanah	140
Lampiran C	Analisis spesifik graviti tanah	142
Lampiran D	Analisis pemandatan Proctor	143
Lampiran E	Analisis Penstabilan bagi Sampel S1	148
Lampiran F	Analisis Penstabilan bagi Sampel S3	166
Lampiran G	Nilai 2θ bagi analisis XRD	184





UMS
UNIVERSITI MALAYSIA SABAH